

©1994 г.

## РАЗМЕРНЫЙ ЭФФЕКТ В ТЕРМОЭДС МНОГОДОЛИННЫХ ПОЛУПРОВОДНИКОВ

*H.A. Прима*

Институт полупроводников Академии наук Украины, 252650, Киев, Украина  
(Получена 30 сентября 1993 г. Принята к печати 23 ноября 1993 г.)

Теоретически рассмотрен размерный эффект на междолинной длине  $L_v$  и длине остыивания  $L_e$  в термоэдс многодолинных полупроводников типа  $n\text{-Si}$ . Использован метод поиска решений для симметричной части функций распределения в долинах  $f_0^{(\alpha)}(\epsilon, \mathbf{r}, t)$  в виде разложения по собственным функциям оператора, отвечающего за квазиупругое междолинное рассеяние. Показано, что в тонких образцах термоэдс становится анизотропной и может быть в несколько раз больше термоэдс объемного образца.

Современные полупроводниковые термоэлементы, широко используемые в качестве охладителей, термогенераторов, стабилизаторов температуры изготавливаются на основе пленок и многослойных структур микронных и субмикронных размеров. В отличие от массивных образцов, тепловые явления в таких структурах сильно зависят, а иногда и полностью определяются свойствами поверхностей, разделяющих слои. Поверхности ограничивают потоки, изменяют распределение электрических полей, на них происходит дополнительное рассеяние электронов. В связи с этим представляют интерес исследования зависимости тепловых свойств от толщины тонких образцов.

Как известно [1], анизотропия энергетического спектра электронов проводимости (естественная или созданная магнитным полем, давлением и другими внешними воздействиями) может быть одной из причин размерного эффекта в кинетических коэффициентах. В данной работе изучается размерный эффект в термоэдс многодолинных полупроводников типа  $n\text{-Si}$ ,  $n\text{-Ge}$ . Электроны каждой из долин в этих полупроводниках имеют анизотропный спектр. Поэтому если в образце создан градиент температуры, то в нем возникают не только продольные, но и поперечные по отношению к градиенту потоки электронов в каждой из долин. В тонких слоях и пленках поверхности образца ограничивают поперечные потоки, в результате нарушается равновесное распределение электронов по долинам и по энергии [1–3]. Неравновесность максимальна на боковых гранях пластины и релаксирует в глубину на характерных кинетических длинах — междолинной длине  $L_v \sim \sqrt{D\tau_v}$  и

длине остыания  $L_\epsilon \sim \sqrt{D\tau_\epsilon}$  ( $D$  — коэффициент диффузии,  $\tau_v$ ,  $\tau_\epsilon$  — времена релаксации). Неравновесное распределение электронов вблизи поверхостей приводит к зависимости кинетических коэффициентов от толщины образца.

Ранее [1,4,5] расчет размерного эффекта на длинах  $L_\epsilon$ ,  $L_v$  проводился феноменологически и, как правило, исследовались раздельно размерный эффект на длине  $L_\epsilon$  и размерный эффект на длине  $L_v$ . Позднее показано, что феноменологический подход некорректен [2,3]. В работе [2] был предложен метод строгого анализа процессов релаксации в тонких образцах, основанный на решении кинетических уравнений, и рассмотрен размерный эффект в проводимости.

В данной работе метод [2] использован для расчета размерного эффекта в термоэдс многодолинных полупроводников. При изучении тепловых явлений следует помнить об одной особенности, отличающей эти явления. При наличии в кристалле градиента температуры неравновесны не только электроны, но и фононы, поэтому в тепловых явлениях важную роль играет эффект увеличения электронов длинноволновыми фононами [6]. Благодаря этому эффекту термоэдс полупроводников может возрастать при низких температурах в десятки и даже сотни раз [6,7]. В нашей работе предполагается, что длины свободного пробега электронов  $l$  и длинноволновых фононов  $l_{ph}$  малы по сравнению с толщиной образца, поэтому эффект увлечения не приводит к новым трудностям при вычислении термоэдс. Некоторые другие варианты неравновесных распределений фононов и электронов рассмотрены в монографии [5].

## 1. Основные уравнения

Рассмотрим образец в форме пластины, тонкой в направлении  $y$  ( $-d \leq y \leq d$ ). Вдоль пластины создан слабый градиент температуры  $dT_0/dx$ . Если контакты в направлении  $x$  разомкнуты и полный ток  $I_x = 0$ , в образце возникает термополе  $E'_x$  (термоэдс  $V_x$ ). В линейном по приложенному градиенту приближении вычислим  $E'_x = E_x + (1/e)d\mu/dx$ , где  $\mu$  — электрохимический потенциал,  $E$  — напряженность электрического поля. При этом учтем, что в многодолинных полупроводниках в направлении  $y$  электроны могут быть распределены по энергии и долинам неравновесно.

Пренебрежем слабой зависимостью подвижности и других величин от координаты  $x$ , что справедливо, если температура решетки  $T_0(x)$  изменяется незначительно на длине образца  $L$ , т.е.  $L(dT_0/dx) \ll T_0$ . Тогда из уравнений Максвелла и непрерывности следует, что электрическое поле в образце имеет компоненты  $E_x$ ,  $E_y(y)$ ,  $E_z$ , причем от координаты  $y$  зависит только компонента  $E_y$ . Поля  $E_y(y)$  и  $E_z$  обусловлены исключительно неравновесностью электронов по энергии и долинам и сильно зависят от ориентации долин. Поле  $E_y(y)$  определяется из уравнения непрерывности, которое в нашей задаче имеет вид  $j_y(y) = \sum_\alpha j_y^{(\alpha)} = 0$ .

При условии  $\tau_y \gg \tau_\epsilon$ , которое в большинстве случаев хорошо выполняется всегда [2], в каждой из долин может быть введена своя квази-

изотропная функция распределения [8,9]. Кинетическое уравнение для симметричной части этой функции  $f_0^{(\alpha)}(\varepsilon, \mathbf{r}, t)$  имеет вид

$$g(\varepsilon) \frac{\partial f_0^{(\alpha)}}{\partial t} + \frac{\partial j^{(\alpha)}}{\partial \mathbf{r}} - e\mathbf{E} \frac{\partial j^{(\alpha)}}{\partial \varepsilon} = \hat{S} \left( f_0^{(\alpha)} \right) - \hat{S}_v \left( f_0^{(\alpha)}, f_0^{(\beta)} \right), \quad (1)$$

$$j_i^{(\alpha)}(\varepsilon, \mathbf{r}, t) = g(\varepsilon) D_{ik}^{(\alpha)}(\varepsilon) \left[ \frac{\partial f_0^{(\alpha)}}{\partial \varepsilon} \left( eE_k + k\alpha_{kj}^{(\alpha)} \frac{dT_0}{d\mathbf{r}_j} \right) - \frac{\partial f_0^{(\alpha)}}{\partial \mathbf{r}_k} \right]. \quad (2)$$

Здесь  $k$  — постоянная Больцмана,  $g(\varepsilon)$  — плотность состояний,  $j^{(\alpha)}(\varepsilon, \mathbf{r}, t)$  — поток электронов с энергией  $\varepsilon$  в долине  $\alpha$ ,  $D_{ik}^{(\alpha)}(\varepsilon)$  и  $\alpha_{ik}^{(\alpha)}(\varepsilon)$  — тензор коэффициентов диффузии и тензор увлечения электронов фононами,  $\hat{S}$  и  $\hat{S}_v$  — операторы внутридолинного и междолинного рассеяний соответственно. Вид операторов  $\hat{S}$ ,  $\hat{S}_v$  для различных механизмов рассеяния приведен в [8,9], а также работах [2,3]. В главных осях эллипсоида энергии тензоры  $D_{ik}^{(\alpha)}(\varepsilon)$ ,  $\alpha_{ik}^{(\alpha)}(\varepsilon)$  диагональны и в  $n$ -Si,  $n$ -Ge имеют компоненты  $D_{\parallel}(\varepsilon)$ ,  $D_{\perp}(\varepsilon)$  и  $\alpha_{\parallel}(\varepsilon)$ ,  $\alpha_{\perp}(\varepsilon)$ . В многодолинных полупроводниках электроны увлекаются фононами продольной и поперечной поляризаций [6,7], поэтому  $\alpha_{ik}^{l,t}(\varepsilon) = \alpha_{ik}^{l,t} + \alpha_{ik}^{t,l}$ . Каждая из компонент в широком интервале температур степенным образом зависит от энергии  $\alpha_{ik}^{l,t}(\varepsilon) \sim \varepsilon^{(p+1)/2}$ . При температурах  $T_0$  выше температуры Дебая  $T_D$  для обеих поляризаций  $p = -1$ , при низких температурах  $T_0 \ll T_D$  для продольных колебаний показатель степени может изменяться на  $p = -2, -3$  [6,7].

Поверхности образца ограничивают не только полные, но и детальные потоки электронов. Если на поверхностях  $y = \pm d$  рассеяние электронов по энергии и долинам не происходит, то граничные условия имеют вид

$$j_y^{(\alpha)}(\varepsilon, \pm d) = 0. \quad (3)$$

Если же на одной из поверхностей  $y = +d$  или  $y = -d$  скорость релаксации неравновесности велика, а на другой поверхности релаксации отсутствует (например, обедняющий изгиб зон у этой поверхности [1]), то результаты будут теми же, что и при граничных условиях (3), однако для образцов, толщина которых в два раза меньше [1].

Процедура поиска решений уравнений (1)–(3) аналогична [2]. Более того, система уравнений для функций  $\Psi^{(\alpha)}(\varepsilon, y)$ , которые в линейном приближении определяют слабое отклонение функций  $f_0^{(\alpha)}(\varepsilon, y)$  от равновесного значения, полностью совпадает с соответствующей системой работы [2]

$$g(\varepsilon) D_{yy}^{(\alpha)}(\varepsilon) \frac{\partial^2 \Psi^{(\alpha)}}{\partial y^2} + \hat{S} \left( \Psi^{(\alpha)} \right) - \hat{S}_v \left( \Psi^{(\alpha)}, \Psi^{(\beta)} \right) = 0. \quad (4)$$

Так как уравнения (4) однородны, из факта совпадения следует, что размерный эффект в проводимости и термоэдс описывается одними и

теми же наборами характерных длин  $L_v$ ,  $L_\varepsilon$ . Однако на этом совпадения заканчиваются. Амплитуда функций  $\Psi^{(\alpha)}$  и их зависимости от толщины, которые определяются из граничных условий, различны в этих двух задачах.

## 2. Двухдолинная модель

В качестве примера в работе [2] вычислена размерная зависимость проводимости  $n$ -Si с симметрично ориентированными относительно оси  $x$  долинами (рис. 1). Рассмотрим для этого случая и размерный эффект в термоэдс. Поскольку долина 3 изотропна в плоскости  $xy$ , поперечные потоки в этой долине отсутствуют, соответственно  $\Psi^{(3)}(\varepsilon, y) = 0$ . Долины 1 и 2 расположены симметрично, поэтому  $\Psi^{(1)}(\varepsilon, y) = -\Psi^{(2)}(\varepsilon, y)$  и система (4) сводится к одному уравнению в частных производных для функции  $\Psi(\varepsilon, y) \equiv \Psi^{(1)} - \Psi^{(2)}$ . Так как операторы  $\hat{S}$  и  $\hat{S}_v$  действуют только по переменной  $\varepsilon$ , к этому уравнению может быть применен метод разделения переменных, в результате

$$\Psi(\varepsilon, y) = e^{-\varepsilon} \sum_{n=0}^{\infty} (C_n^+ e^{\alpha_n y} + C_n^- e^{-\alpha_n y}) \chi_n(\varepsilon). \quad (5)$$

Здесь введена безразмерная энергия  $\varepsilon = \varepsilon/kT_0$ ,  $C_n^+$ ,  $C_n^-$  — постоянные, которые определяются из граничных условий,  $\chi_n(\varepsilon)$  — собственные функции,  $\Lambda_n$  — собственные значения оператора столкновений  $\hat{L}$ , полученного из  $\hat{S}$  и  $\hat{S}_v$  [2]. Величины  $\alpha_n^{-1}$  играют роль длин релаксации неравновесности и  $\alpha_n^2 \sim \Lambda_n$ .

В работе [2] показано, что задача на собственные значения оператора  $\hat{L}$  может быть решена, если  $\chi_n(\varepsilon)$  разложить в ряд по собственным функциям оператора, отвечающего за квазиупругое внутридолинное рассеяние

$$\chi_n(\varepsilon) = \sum_{k=0}^{\infty} C_{nk} \varphi_k(\varepsilon), \quad (6)$$

где  $\varphi_k(\varepsilon) = b_k L_k^{3/2+s}(\varepsilon)$ ,  $L_k^{3/2+s}$  — полиномы Лагерра,  $b_k$  — нормировочные коэффициенты. Тогда при слабом междолинном рассеянии  $\Lambda_n$  и  $\chi_n(\varepsilon)$  могут быть найдены по теории возмущений, а при сильном —

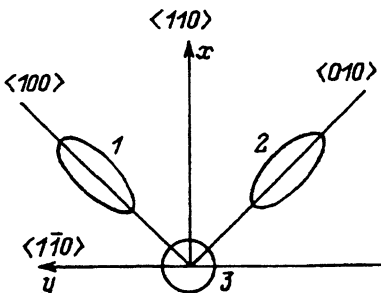


Рис. 1. Ориентация долин в  $n$ -Si.

численно. В работах [2,3] подробно исследован спектр  $\Lambda_n$  в зависимости от интенсивности междолинного упругого [3] и неупругого [2] рассеяний, определена также связь между  $\alpha_n^{-1}$  и вводимыми при феноменологическом рассмотрении длинами  $L_v, L_\epsilon$ .

Так как проблема определения характерных длин размерного эффекта рассмотрена в указанных выше работах, перейдем к вычислению термополя.

$$E'_x = -\frac{k}{e} \frac{dT_0}{dx} \left[ \frac{5}{2} + s - \frac{\mu}{kT_0} + \frac{\bar{U}_{xx}}{\bar{D}_{xx}} - \frac{2}{\bar{D}_{xx}} \sum_{n=0}^{\infty} C_n^+ \frac{\sinh \alpha_n d}{d} \times \right. \\ \left. \times \int_0^{\infty} g(\epsilon) D_{xy}^{(1)}(\epsilon) e^{-\epsilon} \chi_n(\epsilon) d\epsilon \right]. \quad (7)$$

Здесь тензор  $U_{ik}^{(\alpha)}(\epsilon) = \sum_j D_{ij}^{(\alpha)} \alpha_{jk}^{(\alpha)}$  описывает эффект фононного увлечения, параметр  $s$  задает зависимость от энергии времени релаксации импульса электронов  $\tau_p(\epsilon) \sim \epsilon^s$ . Коэффициенты  $C_n^+$  определим из граничных условий (3). Следуя тем же путем, что и в работе [2], воспользуемся разложением (6). В результате получим

$$E'_x = -\frac{k}{e} \frac{dT_0}{dx} \left\{ \frac{5}{2} + s - \frac{\mu}{kT_0} + a_0 \mathcal{E}_1(d) + \frac{\bar{U}_{xx}}{\bar{D}_{xx}} [1 + a_0 \mathcal{E}_2(d)] \right\}, \quad (8)$$

где

$$\mathcal{E}_1(d) = \sqrt{(5/2 + s)} \frac{\sum_{n=0}^{\infty} C_{n0} C_{n1} \frac{\tanh \delta_n}{\delta_n}}{1 - a_0 \sum_{n=0}^{\infty} C_{n0}^2 \frac{\tanh \delta_n}{\delta_n}},$$

$$\mathcal{E}_2(d) = \frac{\sum_{n=0}^{\infty} C_{n0} \frac{\tanh \delta_n}{\delta_n} \left( C_{n0} - \sum_{k=0}^{\infty} C_{nk} R_k \right)}{1 - a_0 \sum_{n=0}^{\infty} C_{n0}^2 \frac{\tanh \delta_n}{\delta_n}},$$

$$a_0 = \frac{2 \left( \bar{D}_{xy}^{(1)} \right)^2}{\bar{D}_{xx} \bar{D}_{yy}^{(1)}}, \quad \delta_n = \alpha_n d, \quad a_1 = \frac{\bar{U}_{yx}^{(1)}}{\bar{D}_{yx}^{(1)}} \cdot \frac{\bar{D}_{xx}}{\bar{U}_{xx}},$$

$$R_k = a_1 \frac{\sqrt{\Gamma(5/2 + s)} \Gamma \left( -\frac{p+1}{2} + k \right)}{\sqrt{k! \Gamma(5/2 + s + k)} \Gamma \left( -\frac{p+1}{2} \right)}.$$

Функции  $\mathcal{E}_1(d)$  и  $\mathcal{E}_2(d)$  описывают зависимость  $E'_x$  от толщины образца  $d$ , последнее слагаемое в (8) пропорционально величине увлечения электронов фононами. В толстых образцах  $\mathcal{E}_1(d \rightarrow \infty) = \mathcal{E}_2(d \rightarrow \infty) = 0$ . При вычислении  $R_k$  считалось, что  $\alpha_{jk}^{(\alpha)}(\epsilon) \sim \epsilon^{(p+1)/2}$ . Коэффициенты

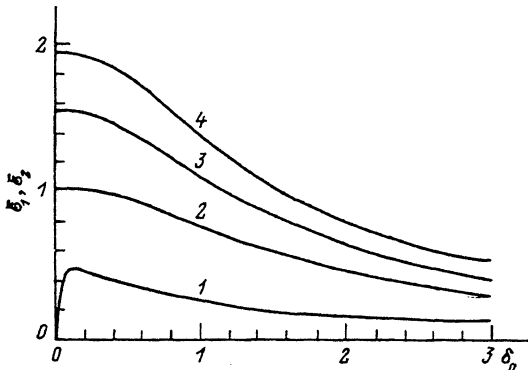


Рис. 2. Зависимость функций  $\mathcal{E}_1(d)$  (1) и  $\mathcal{E}_2(d)$  (2–4) от толщины образца ( $\delta_0 = \alpha_0 d$ ) при  $\gamma = 25$ ,  $p = -1$  и  $M$ : 2 — 4, 3 — 6, 4 — 8.

$C_{nk}$  удовлетворяют условиям  $\sum_{n=0}^{\infty} C_{nk} C_{nl} = \delta_{kl}$ . Поэтому для образцов, толщина которых меньше всех характерных длин, легко вычислить  $E'_x$  в общем случае. Полагая все  $\delta_n \ll 1$  и  $\text{th} \delta_n / \delta_n = 1$ , получим  $\mathcal{E}_1 = 0$ ,  $\mathcal{E}_2 = (1 - R_0)/(1 - a_0)$ . Отсюда видно, что в отсутствие эффекта фононного увлечения размерный эффект в  $E'_x$  мал, а зависимость  $E'_x(d)$  немонотонна. Рис. 2, на котором изображена функция  $\mathcal{E}_1(\delta_0 = \alpha_0 d)$  для параметров n-Si демонстрирует этот факт. Зависимости, приведенные на рис. 2 и 3, построены в предположении, что внутридолинное рассеяние электронов квазиупруго и происходит с участием акустических фононов, а междолинное рассеяние неупруго и осуществляется на фононе с энергией  $\hbar\omega_0 = 5kT_0$ . Параметр  $\gamma_0$  пропорционален интенсивности междолинного рассеяния [2].

Величина  $\bar{U}_{xx}/\bar{D}_{xx}$ , назовем ее  $\alpha_{ph}$ , описывает эффект увлечения электронов фононами. Параметр  $\alpha_{ph}$  сильно зависит от температуры. В области температур  $T_p \ll T_D$   $\alpha_{ph} \sim T_0^{-7/2}$  и эта зависимость постепенно ослабляется до  $\alpha_{ph} \sim T_0^{-3/2}$  в области высоких температур. В зависимости от легирования в n-Si  $\alpha_{ph}$  порядка нескольких единиц в области (100–120) К.

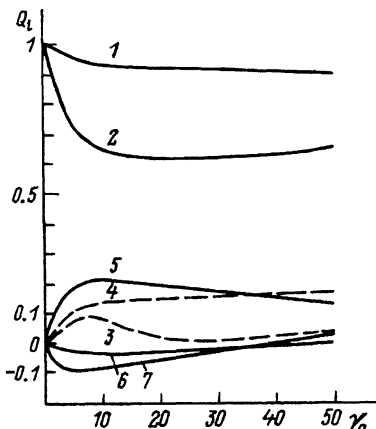


Рис. 3. Зависимость коэффициентов  $Q_i$  от интенсивности междолинного рассеяния, характеризуемой параметром  $\gamma_0$ . Номера кривых соответствуют значениям  $i$ :  $Q_1 = C_{00}^2$ ,  $Q_2 = C_{11}^2$ ,  $Q_3 = -C_{10}$ ,  $Q_4 = C_{20}$ ,  $Q_5 = C_{00}C_{01}$ ,  $Q_6 = C_{10}C_{11}$ ,  $Q_7 = C_{20}C_{21}$ .

Эффект фононного увлечения сильно анизотропен. Коэффициент анизотропии  $M = \bar{\alpha}_{\parallel}/\bar{\alpha}_{\perp}$  также зависит от температуры и легирования образца. Для  $n$ -Si коэффициент  $M$  близок по величине отношению  $\bar{D}_{\perp}/\bar{D}_{\parallel} = K_2 \approx 5$  в области температур (80–100) К [7]. Эти детали важны, так как параметр

$$a_1 = \frac{U_{yx}^{(1)}}{D_{yx}^{(1)}} \cdot \frac{D_{xx}}{U_{xx}} = \frac{K_2 - M}{K_2 - 1} \cdot \frac{1 + 2K_2}{M + 2K_2}, \quad (9)$$

которому пропорциональны  $R_k$ , обращается в нуль при  $M = K_2$ . Для более низких температур  $M > K_2$  и  $R_k$  отрицательны, что приводит к усилению размерного эффекта. На рис. 2 изображена функция  $\mathcal{E}_2(d)$  при  $p = -1$  и различных значениях  $M$ . Похожим образом ведет себя  $\mathcal{E}_2(d)$  и при  $p = -2, -3$ .

Аналогично можно вычислить и размерную зависимость потока тепла, переносимого электронами

$$\frac{Q_x}{2dkT_0} = k \frac{dT_0}{dx} \bar{D}_{xx} \left( \frac{5}{2} + s \right) \left\{ 1 - a_0 \mathcal{E}_3(d) + \frac{\bar{U}_{xx}}{\bar{D}_{xx}} \left[ \frac{p+1}{5+2s} + a_0 \mathcal{E}_4(d) \right] \right\}. \quad (10)$$

Выражения для  $\mathcal{E}_3(d)$  и  $\mathcal{E}_4(d)$  громоздки, поэтому приведем их значения для толстых и предельно тонких ( $\delta_n \ll 1$ ) образцов. В толстых образцах  $d \rightarrow \infty$  и  $\mathcal{E}_3, \mathcal{E}_4 = 0$ . В тонких  $\mathcal{E}_3 = 1, \mathcal{E}_4 = R_1/\sqrt{5/2+s}$ . Основной вклад в  $\mathcal{E}_3(d)$  вносит  $\sum_{n=0}^{\infty} C_{n1}^2 \operatorname{th} \delta_n/\delta_n$ , такая же сумма, умноженная на  $R_1/\sqrt{5/2+s}$ , преобладает и в  $\mathcal{E}_4(d)$ , именно она задает значения  $\mathcal{E}_3, \mathcal{E}_4$  при  $d \rightarrow 0$ . Из сказанного следует, что в  $Q_x$  размерный эффект на длине остывания  $\alpha_1^{-1}$  значительно сильнее размерного эффекта на междолинной длине  $\alpha_0^{-1}$ . Это отличает теплопроводность от проводимости, магнитосопротивления, а также термополя  $E'_x$ .

Качественно вид функций  $\mathcal{E}_3(d)$  и  $\mathcal{E}_4(d)$  близок к зависимостям типа  $a\mathcal{E}_2(d) + b\mathcal{E}_1(d)$ , однако изменение  $\mathcal{E}_3(d)$  и  $\mathcal{E}_4(d)$  происходит несколько быстрее указанной зависимости, так как длины остывания всегда меньше междолинных длин. Параметр  $|b| \sim 1$  и  $b$  может быть отрицательным. Особым для  $Q_x$  является случай  $p = -1$ . При этом из всех  $R_k$  отлично от нуля только  $R_0$ , поэтому главное слагаемое в  $\mathcal{E}_4(d)$  равно нулю и функция  $\mathcal{E}_4(d)$  ведет себя аналогично  $\mathcal{E}_1(d)$ . Действительно, в этом случае  $\mathcal{E}_4(d) = -\mathcal{E}_1(d)(1 - R_0)/(5/2+s)$ . Из формулы (10) и рис. 2 видно, что при  $p = -1$  эффект фононного увлечения не дает вклада в  $Q_x$  как в тонких, так и в толстых образцах. Однако в образцах промежуточной толщины ( $\delta_n \sim 1$ ) и больших значениях  $\alpha_{ph}$  вклад эффекта фононного увлечения может быть большим и даже может приводить к изменению знака  $Q_x$ . Следовательно, в случае  $p = -1$  размерный эффект в  $Q_x$  проявляется особенно сильно.

Заметим здесь, что при  $p = -2, -3$  поток тепла электронов (10) может быть направлен против градиента температуры и в толстом образце. Причина этого — сложная взаимная компенсация детальных потоков  $j_x(\varepsilon)$ . Напомним, полный ток в образце  $I_x = 0$ .

## Заключение

В работе рассмотрен размерный эффект в термоэдс и электронной теплопроводности на примере  $n$ -Si с ориентацией долин, изображенной на рис. 1. Аналогичные формулы могут быть получены и для других ориентаций и полупроводников. В общем случае зависимости  $E'_x(d)$  и  $Q_x(d)$  изменяются только количественно, все качественные выводы сохраняются.

В рассмотренном примере благодаря высокой симметрии в расположении долин поля  $E_y(y)$  и  $E_z$  равны нулю. В менее симметричной ситуации, например если на рис. 1 ось симметрии долин повернуть относительно градиента на некоторый угол  $\psi \neq 0$ , в образце вблизи поверхностей  $y = \pm d$  возникает поле  $E_y(y)$ . В других случаях могут присутствовать оба поля  $E_y(y)$  и  $E_z$ . Отвечающие этим полям термодс  $V_y$  и  $V_z$  всегда значительно меньше  $V_x$ , однако для экспериментальных исследований могли бы представлять интерес. Сильная зависимость  $V_y$ ,  $V_z$  от ориентации кристаллографических осей полупроводника относительно осей  $x$ ,  $y$ ,  $z$  образца, отсутствие поля Холла, а также тот факт, что  $V_y$ ,  $V_z$  обусловлены исключительно поперечной неравновесностью электронов, открывают возможность экспериментального исследования указанной неравновесности не только в тонких, но и в достаточно толстых образцах.

Сказанное выше позволяет сформулировать общие выводы. Перечислим те особенности, которые отличают тепловые явления от других кинетических явлений.

1. Размерные зависимости  $E'_x(d)$  и  $Q_x(d)$  часто бывают немонотонными.

2. С уменьшением толщины образца величины термоэдс и потока тепла, как правило, растут, в то время как проводимость и магнитосопротивление всегда уменьшаются.

3. В тепловых явлениях наиболее сильно проявляется размерный эффект на длине остывания.

## Список литературы

- [1] Э.И. Рашиба, З.С. Грибников, В.Я. Кравченко. УФН, **119**, 3 (1976).
- [2] Н.А. Прима. ФТП, **20**, 314 (1986).
- [3] Н.А. Прима. ФТП, **26**, 530 (1992).
- [4] V.V. Mitin, N.A. Prima. Phys. St. Sol. (b), **58**, 809 (1973).
- [5] Ф.Г. Басс, В.С. Бочков, Ю.Г. Гуревич. Электроны и фононы в ограниченных полупроводниках. М. (1984).
- [6] C. Herring, T.H. Geballe, J.E. Kunzler. Phys. Rev., **111**, 36 (1958).
- [7] П.И. Баранский, И.С. Буда, И.В. Даховский. Термоэлектрические и термомагнитные явления в многодолинных полупроводниках. Киев. 1992.
- [8] E.M. Conwell. High Field Transport in Semiconductors. N. Y.-London (1967).
- [9] М. Аш, З.С. Грибников, В.В. Митин, О.Г. Сарбей. Горячие электроны в многодолинных полупроводниках. Киев (1982).

Редактор Т.А. Полянская